



**«Московский государственный технический
университет имени Н.Э. Баумана»
(МГТУ им. Н.Э. Баумана)**

Факультет «Информатика и системы управления»
Кафедра «Программное обеспечение ЭВМ и информационные технологии»

**Отчет по лабораторной работе №2
по курсу:
«Моделирование»**

Программно-алгоритмическая реализация методов Рунге-Кутты 2-го и 4-го
порядков точности при решении системы ОДУ в задаче Коши.

Студент группы ИУ7-63Б: Н. О. Фурдик
(Фамилия И.О.)

Преподаватель: В. М. Градов
(Фамилия И.О.)

Оглавление

Задание	2
Листинг кода	4
Результаты работы	6
Ответы на вопросы	8
Список литературы	10

Задание

Цель работы: Получение навыков разработки алгоритмов решения задачи Коши при реализации моделей, построенных на системе ОДУ, с использованием методов Рунге-Кутты 2-го и 4-го порядков точности.

Исходные данные:

Задана система электротехнических уравнений, описывающих разрядный контур, включающий постоянное активное сопротивление, нелинейное сопротивление, зависящее от тока, индуктивность и емкость.

$$\begin{cases} \frac{dI}{dT} = \frac{U - (R_k + R_p(I))I}{L_k} \\ \frac{dU}{dt} = -\frac{I}{C_k} \end{cases} \quad (1)$$

Начальные условия:

$$t = 0, I = I_0, U = U_0, \quad (2)$$

где I, U - ток и напряжение на конденсаторе.

Сопротивление R_p можно рассчитать по формуле

$$R_p = \frac{l_p}{2\pi R^2 \int_0^1 \sigma(T(z))z dz} \quad (3)$$

Для функции $T(z)$ следует применить выражение

$$T(z) = T_0 + (T_w - T_0)z^m. \quad (4)$$

Параметры T_0, m находятся интерполяцией из табл. 1 при известном токе I.

Коэффициент электропроводности $\sigma(T)$ зависит от T и рассчитывается интерполяцией из табл.2.

Таблица 1

I, A	T_0 , K	m
0.5	6730	0.5
1	6790	0.55
5	7150	1.7
10	7270	3
50	8010	11
200	9185	32
400	10010	40
800	11140	41
1200	12010	39

Таблица 2

T, K	$\sigma, \frac{1}{\Omega \cdot \text{см}}$
4000	0.031
5000	0.27
6000	2.05
7000	6.06
8000	12
9000	19.9
10000	29.6
11000	41.1
12000	54.1
13000	67.7
14000	81.5

Параметры разрядного контура:

$$\begin{aligned} R &= 0.35, l_s = 12, L_k = 18710^{-6}, C_k = 26810^{-6} \\ R_k &= 0.25, U_{co} = 1400, I_o = 0.3A, T_w = 2000K \end{aligned} \quad (5)$$

Для справки: при указанных параметрах длительность импульса около 600 мкс, максимальный ток – около 800 А.

Задания к лабораторной

1. Построить графики зависимости от времени импульса t : $I(t), U(t), R_p(t), I(t) \cdot R_p(t), T_0(t)$ при заданных выше параметрах. На одном из графиков привести результаты вычислений двумя методами разных порядков точности. Показать, как влияет выбор метода на шаг сетки.
2. График зависимости $I(t)$ при $R_k + R_p = 0$. Обратить внимание на то, что в этом случае колебания тока будут не затухающими.
3. График зависимости $I(t)$ при $R_k = 200$ Ом в интервале значений t 0 – 20 мкс.

Листинг кода

В данном разделе будет представлен листинг кода программы.

Листинг 1: Логарифмическая интерполяция

```
1 def log_interp(x, y):
2     log_x = np.log10(x)
3     log_y = np.log10(y)
4     lin_interp = interpolate.interp1d(logx, logy, fill_value='extrapolate')
5     log_interp = lambda dd: np.power(10.0, lin_interp(np.log10(dd)))
6     return log_interp
```

Листинг 2: Метод Рунге-Кутты 2-го порядка

```
1 def runge-kutta2():
2     alpha=1.
3
4     res_time = []
5     res_curr = []
6     res_volt = []
7     res_res = []
8     res_temp = []
9
10    t = time_start()
11    prev = initial_vector()
12
13    res_time.append(t)
14    res_cur.append(prev[0])
15    res_volt.append(prev[1])
16    res_res.append(lamp_resistance(prev[0]))
17    res_temp.append(temperature(0, prev[0]))
18
19    while t < time_end():
20        v0 = vector_function(prev[0], prev[1])
21
22        v1 = vector_function(prev[0] + step / (2.0 * alpha),
23                             prev[1] + step / (2.0 * alpha * v0[1]))
24        prev[0] += step * ((1. - alpha) * v0[0] + alpha * v1[0])
25        prev[1] += step * ((1. - alpha) * v0[1] + alpha * v1[1])
26
27        res_time.append(t)
28        res_cur.append(prev[0])
29        res_volt.append(prev[1])
30        res_res.append(lamp_resistance(prev[0]))
31        res_temp.append(temperature(0, prev[0]))
32
33        t += step
34
35        print(t)
36
37    return res_time, res_cur, res_volt, res_res, res_temp
```

```

1 def runge-kutta4():
2     res_time = []
3     res_curr = []
4     res_volt = []
5     res_res = []
6     res_temp = []
7
8     t = time_start()
9     prev = initial_vector()
10
11     res_time.append(t)
12     res_cur.append(prev[0])
13     res_volt.append(prev[1])
14     res_res.append(lamp_resistance(prev[0]))
15     res_temp.append(temperature(0, prev[0]))
16
17     while t < time_end():
18
19         v1 = vector_function(prev[0], prev[1])
20         k1 = v1[0]
21         q1 = v1[1]
22
23         v2 = vector_function(prev[0] + k1 * step / 2.0, prev[1] + q1 * step / 2.0)
24         k2 = v2[0]
25         q2 = v2[1]
26
27         v3 = vector_function(prev[0] + k2 * step / 2.0, prev[1] + q2 * step / 2.0)
28         k3 = v3[0]
29         q3 = v3[1]
30
31         v4 = vector_function(prev[0] + k3 * step, prev[1] + q3 * step)
32         k4 = v4[0]
33         q4 = v4[1]
34
35         prev[0] += step * (k1 + 2 * k2 + 2 * k3 + k4) / 6.0
36         prev[1] += step * (q1 + 2 * q2 + 2 * q3 + q4) / 6.0
37
38         res_time.append(t)
39         res_cur.append(prev[0])
40         res_volt.append(prev[1])
41         res_res.append(lamp_resistance(prev[0]))
42         res_temp.append(temperature(0, prev[0]))
43
44         t += step
45
46     print(t)
47
48     return res_time, res_cur, res_volt, res_res, res_temp

```

Результаты работы

Задание 1

Графики зависимости от времени импульса t при методе Рунге-Кутты 4-го порядка точности.

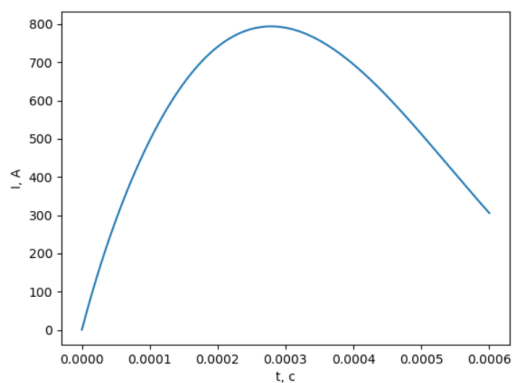


Рис. 1: График $I(t)$

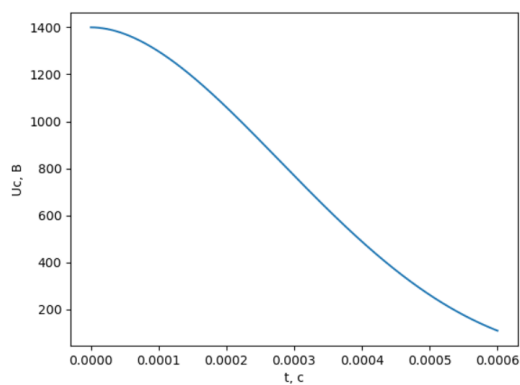


Рис. 2: График $U(t)$

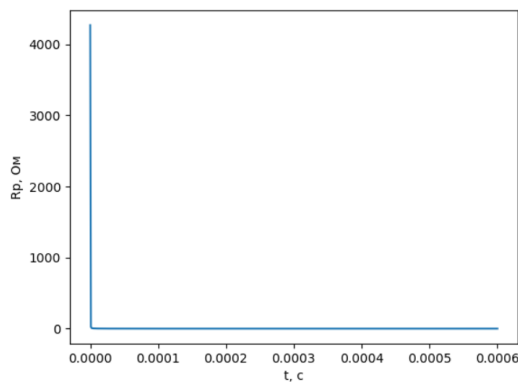


Рис. 3: График $R_p(t)$

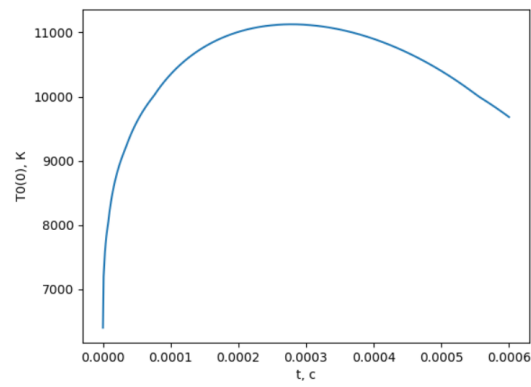


Рис. 4: График $I(t) \cdot R_p(t)$

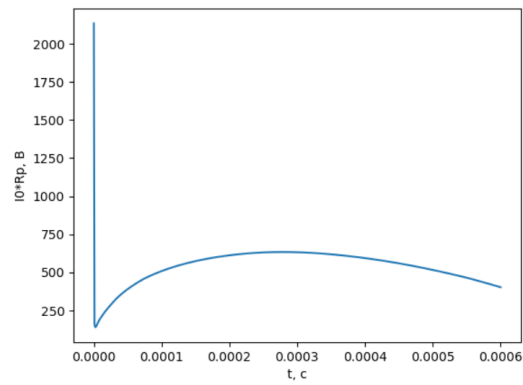


Рис. 5: График $T_0(t)$

Теперь построим для метода Рунге-Кутты 2-го порядка точности график зависимости T_0 от t :

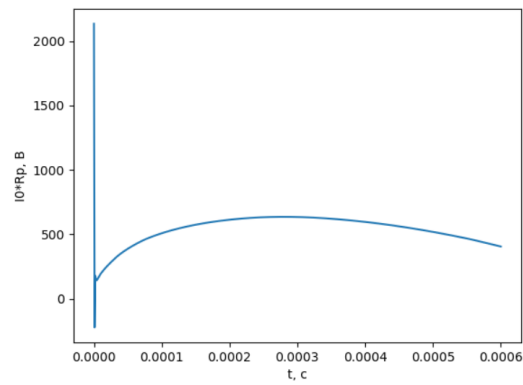


Рис. 6: График $T_0(t)$

Задание 2

График зависимости $I(t)$ при $R_k + R_p = 0$.

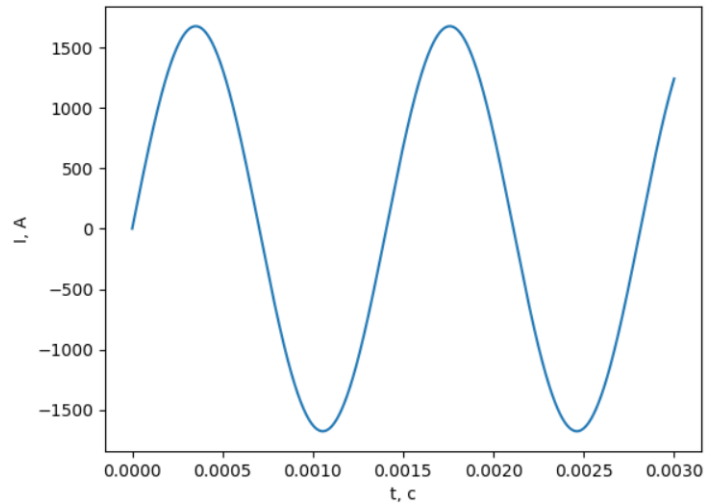


Рис. 7: График $I(t)$

Из графика видно, что колебания действительно стали незатухающими.

Задание 3

График зависимости $I(t)$ при $R_k = 200$ Ом в интервале значений t 0 – 20 мкс.

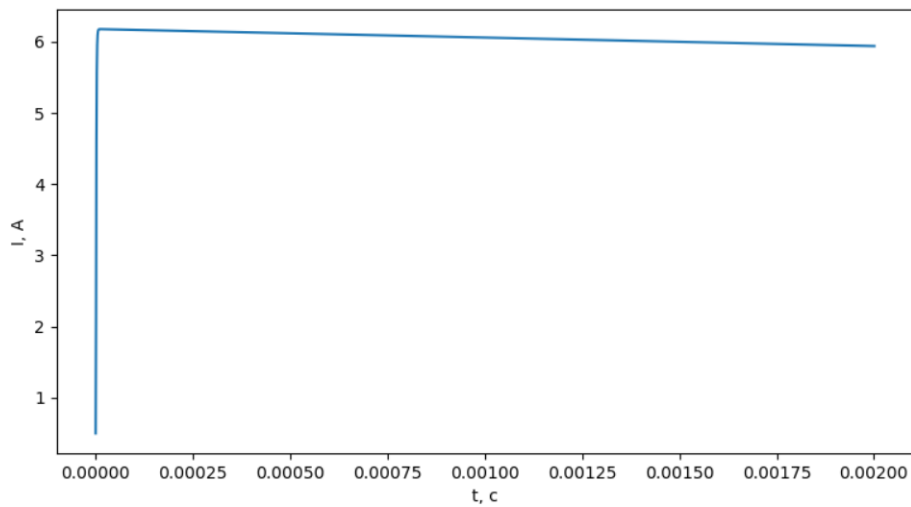


Рис. 8: График $I(t)$

Ответы на вопросы

1. Какие способы тестирования программы можно предложить?

Первый способ: поставить довольно большое сопротивление (200-250 Ом). В таком случае следует уменьшить шаг (например, до $1e-7$), чтобы захватить момент резкого увеличения силы тока.

Второй способ: сделать R_k и R_p равными нулю. Тогда потерь в контуре не будет и на графике отобразится идеальная бесконечная синусоида.

Третий способ: сделать R_k равным какому-то небольшому константному значению (например, 1 Ом). В этом случае синусоида должна быть затухающей, а задачу следует решать аналитически.

2. Получите систему разностных уравнений для решения сформулированной задачи неявным методом трапеций. Опишите алгоритм реализации полученных уравнений.

Используя систему (1):

$$\begin{cases} \frac{dI}{dT} = \frac{U - (R_k + R_p(I))I}{L_k} \equiv f(I, U_c) \\ \frac{dU}{dt} = -\frac{I}{C_k} \equiv g(I) \end{cases} \quad (6)$$

Запишем выражения для метода:

$$\begin{cases} I_{n+1} = I_n + \Delta t \frac{f(I_n, U_{cn}) + f(I_{n+1}, U_{cn+1})}{2} \\ U_{cn+1} = U_{cn} + \Delta t \frac{g(I_n) + g(I_{n+1})}{2} \end{cases} \quad (7)$$

Подставим в (7) выражения f и g из (6):

$$\begin{cases} I_{n+1} = I_n + \Delta t \frac{U_{cn} - (R_k + R_p(I_n))I_n + U_{cn+1} - (R_k + R_p(I_{n+1}))I_{n+1}}{2L_k} \\ U_{cn+1} = U_{cn} - \Delta t \frac{I_n + I_{n+1}}{2C_k} \end{cases} \quad (8)$$

Подставим U_{cn+1} в верхнее уравнение и решим его относительно I_{n+1} :

$$I_{n+1} = \frac{-2C_k R_p(I_n)I_n \Delta t + 4C_k L_k I_n - 2C_k I_n R_k \Delta t + 4C_k U_{cn} \Delta t - I_n \Delta t^2}{4C_k L_k + 2C_k R_k \Delta t + 2C_k R_p(I_{n+1}) \Delta t + \Delta t^2} \quad (9)$$

Поскольку в правой части фигурирует $R_p(I_{n+1})$, следует решить это уравнение методом простой итерации (10).

$$x^{(s)} = f(x^{(s-1)}) \quad (10)$$

Полученное подставляем в (7) и находим U_{cn+1} по указанной формуле:

$$U_{cn+1} = U_{cn} + \Delta t \frac{g(I_n) + g(I_{n+1})}{2} \quad (11)$$

3. Из каких соображений проводится выбор того или иного метода, учитывая, что чем выше порядок точности метода, тем он более сложен?

Выбор зависит от степени точности метода, требуемой для конкретной задачи и от доступного количества ресурсов (объемов памяти) / времени.

Литература

1. Градов В.М. - Лекции по курсу "Моделирование"[Текст], Москва 2020 год.
2. Метод Рунге — Кутты [Электронный ресурс] - режим доступа:
https://ru.wikipedia.org/wiki/Метод_Рунге_—_Кутты